

Хмельницький національний університет
Факультет інженерії, транспорту та архітектури
Кафедра машин і апаратів, електромеханічних та енергетичних систем

КВАЛІФІКАЦІЙНА РОБОТА БАКАЛАВРА

Розробка механізму компенсації утокових ниток текстильних машин

Назва теми

Галузь знань 13 «Механічна інженерія»

Шифр, назва

Спеціальність 133 «Галузеве машинобудування»

Шифр, назва

Освітня програма «Робототехнічні та мехатронні системи галузі»

Шифр БРМА 24.00.00.000 ПЗ

Виконав студент 3 курсу
група РМС-21-2


Підпис

О.В. Нагорний
Ініціали, прізвище

Керівник


Підпис, дата

В.С. Неймак
Ініціали, прізвище

Нормоконтролер


Підпис, дата

С.І. Турчиш
Ініціали, прізвище

До захисту допускаю:

Зав. кафедри МАЕЕС


Підпис, дата

О.С. Поліщук
Ініціали, прізвище

19 06 2024 р.

Хмельницький 2024

ХМЕЛЬНИЦЬКИЙ НАЦІОНАЛЬНИЙ УНІВЕРСИТЕТ

Факультет інженерії, транспорту та архітектури

Кафедра машин і апаратів, електромеханічних та енергетичних систем

Освітній рівень бакалавр

Галузь знань 13 Механічна інженерія

Шифр і назва

Спеціальність 133 Галузеве машинобудування

Шифр і назва

Освітня програма Робототехнічні та мехатронні системи галузі

ЗАТВЕРДЖУЮ

Завідувач кафедри МАЕЕС

д.т.н., проф. Поліщук О.С.

19.06.2024 .2024р.

ЗАВДАННЯ

НА БАКАЛАВРСЬКУ КВАЛІФІКАЦІЙНУ РОБОТУ

Нагорний Олександр Володимирович

Прізвище, ім'я, по батькові студента

1. Тема роботи Розробка механізму компенсації утокових ниток текстильних машин

керівник роботи Неймак Віталій Станіславович, к.т.н., доцент

Прізвище, ім'я, по батькові, науковий ступінь, вчене звання

Затверджено наказом ректора університету від 15 02 2024 р. № 8

2. Строк подання студентом роботи на кафедру 19.06.2024

3. Вихідні дані до роботи технічні характеристики текстильних машин

4. Зміст пояснювальної записки (перелік питань, які потрібно розробити)

Вступ. 1. Огляд та аналіз існуючих технологічних та технічних рішень з тематики бакалаврської роботи. 2. Розробка механізму компенсації утокових ниток текстильних машин. 3. Аналітичні дослідження вискоефективних механізмів компенсації уточної нитки для безчовникових ткацьких верстатів. Перелік джерел посилання.

5. Перелік графічного матеріалу (із зазначенням обов'язкових креслень)

1. Механізми ткацьких верстатів (ДО, А1). 2. Станок СТБ (ГК, А1). 3. Станок СТБ (КЗ, А1). 4 Механізм компенсації уточної нитки (С2, А1). 5. Пристрій для контролю довжини уточної нитки (РР, А1).

6. Консультанти розділів кваліфікаційної роботи

Розділ	Прізвище, ініціали та посада консультанта	Підпис, дата	
		завдання видав	завдання прийняв

7. Дата видачі завдання _____

КАЛЕНДАРНИЙ ПЛАН

Назва етапів (розділів) кваліфікаційної роботи	Строк виконання етапів роботи	Примітка
1. Огляд та аналіз існуючих технологічних та технічних рішень з тематики бакалаврської роботи	до 20.05.24р.	
2. Розробка механізму компенсації утокових ниток текстильних машин	до 29.05.24р.	
3. Аналітичні дослідження високоєфективних механізмів компенсації уточної нитки для безчовникових ткацьких верстатів	до 5.06.24р.	
4. Оформлення пояснювальної записки та графічного матеріалу	до 17.06.24р.	

Студент

Підпис



О.В. Нагорний
Ініціали, прізвище

Керівник роботи

Підпис

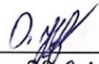


В.С. Неймак
Ініціали, прізвище

АНОТАЦІЯ

до бакалаврської роботи студента
спеціальності 133 «Галузеве машинобудування».

1. Прізвище, ім'я та по батькові Нагорний Олександр Володимирович
2. Тема бакалаврської роботи Розробка механізму компенсації утокових ниток текстильних машин
3. Прізвище, ініціали, вчена ступінь та звання опонента Муса В.В., к.т.н.
4. Об'єм бакалаврської роботи: креслень 5 арк., сторінок записки 70
5. Новим перспективним напрямком створення обладнання для виготовлення тканин масового асортименту являються багатозонні машини, які дозволяють в 1,7—2,5 рази підвищити продуктивність праці і в 3—6 разів продуктивність обладнання, і широкі пневматичні верстати. В розрахунково-пояснювальній записці наведено всі необхідні розробки, а також розділи, що відповідають встановленим вимогам. В першому розділі проведено огляд та аналіз існуючих технічних та технологічних рішень з тематики бакалаврської роботи. В другому розділі розроблено конструкцію механізму компенсації утокових ниток текстильних машин. В третьому розділі проведено аналітичні дослідження високоєфективних механізмів компенсації уточної нитки для безчовникових ткацьких верстатів.

Підпис студента 
"19" 06 2024 р.

РІШЕННЯ ЕК:

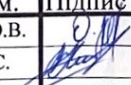
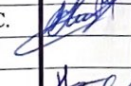

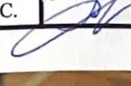
Протокол 2 від "27" 06 2024 р.

Оцінка проекту ЕК добре / 6
Рекомендації ЕК -

Особливі відмітки -
Технічний секретар Гурек А.В.
"27" 06 2024 р.

ЗМІСТ

Вступ		6
1	Огляд та аналіз існуючих технологічних та технічних рішень з тематики бакалаврської роботи	8
1.1	Загальні відомості про ткацькі станки і їх класифікація	8
1.2	Вплив натягу основи на утворення тканини	10
1.3	Способи живлення ткацьких верстатів	16
1.4	Пристрої для відмірювання і накопичення уточної нитки для ткацьких верстатів	22
1.5	Механізми компенсації уточної нитки	29
	Висновки до першого розділу	32
2	Розробка механізму компенсації утокових ниток текстильних машин	34
2.1	Основні характеристики верстату СТБ	34
2.2	Технологічна схема верстату СТБ	37
2.3	Опис роботи верстату по кінематичній схемі	40
2.4	Розробка кінематичних схем механізмів компенсації утокових ниток текстильних машин	42
	Висновки до другого розділу	46
3	Аналітичні дослідження високоефективних механізмів компенсації уточної нитки для безчовникових ткацьких верстатів	47
	Висновки до третього розділу	63

БРМА 24.00.00.000 ПЗ				
Зм.	Арк.	Модокум.	Підпис	Дата
Виконав		Нагорний О.В.		
Перевір.		Неймак В.С.		
Н.контр.		Поліщук		
Затвер.		Поліщук О.С.		
Розробка механізму компенсації утокових ниток текстильних машин			Літера	Аркшп
			4	70
ХНУ гр. РМс-21-2				

Загальні висновки	64
Перелік джерел посилання	65
Додаток А	
Додаток Б	

					БРМА 24.00.00.000 ПЗ	Арк.
						5
Зм.	Арк.	№докум.	Підпис	Дата		

дозволяють підвищити продуктивність праці в 1,7-2,5 рази, а продуктивність обладнання в 3-6 разів, а також широкозонні пневматичні верстати.

Цілями бакалаврської роботи є::

- Аналіз структури і типів механізмів текстильного обладнання;
- Розробка системи компенсації качка для текстильного обладнання;
- Аналітичне дослідження високоефективного механізму компенсації качка для ткацьких верстатів.

					БРМА 24.00.00.000 ПЗ	Арк.
						7
Зм.	Арк.	№докум.	Підпис	Дата		

використовувати тільки з одного боку. Крім того, в залежності від пристрою механізму борців, верстат ділиться на кулачкові, промислові, еластичні, а також Нижні, Середні і верхні борці.

Залежно від кількості використовуваних човників верстат ділиться на одноступінчаті і багатоступінчасті. Багатоступінчастий верстат оснащений спеціальним механізмом, що дозволяє використовувати зміну човника при різних значеннях качка на верстаті.

На автоматичному ткацькому верстаті подача уточной нитки здійснюється під час роботи верстата завдяки дії спеціального автоматичного пристрою, коли двигун несправний і готовий до роботи.

Залежно від виду сировини, що переробляється ткацькі верстати поділяються на машини для виробництва бавовни, шовку, вовни, льону, скла, металу і вторинних тканин.

1.2 Вплив натягу основи на утворення тканини

Заповнює натяг основи необхідно для обробки складок і хвиль качка. Воно встановлюється в залежності від типу виробленої тканини.

Надмірне натяг основи, а також надмірне натяг посилюють блювоту, від якої неможливо відокремити процес ткацтва.

МАЛЕ натяг збільшує довжину стрічки, а нитки, що виходять з гирла, склеюються.

Процес опускання основи голкою і забезпечення сталості режиму натягу здійснюється на ткацькому верстаті за допомогою механізму натягу основи.

В процесі затравки, обробки качка, зняття виготовленої тканини, намотування основи і качка еластична система основи і нитки тканини деформуються в робочій зоні машини. У всіх випадках кожен раз додається

					БРМА 24.00.00.000 ПЗ	Арк.
						10
Зм.	Арк.	№докум.	Підпис	Дата		

$$\frac{1}{L^{\beta 2np}} \rightarrow 0. \quad (1.2)$$

Для наступних умов величина деформації основи на навої складає:

$$\lambda = \frac{T_0 \rho}{Cf}. \quad (1.3)$$

Однак якщо на деяку довжину вільної основи $L_{екв}$ діяти силою λ , то цю деформацію можна визначити за рівнянням:

$$\lambda = \frac{T_0 L_{екв}}{C}. \quad (1.4)$$

Прирівнюючи ці два вирази, отримуємо:

$$\lambda = \frac{T_0 L_{екв}}{C} = \frac{T_0 \rho}{Cf}, \quad (1.5)$$

звідси

$$L_{екв} = \frac{\rho}{f}. \quad (1.6)$$

Таким чином, довжина деформованого ділянки на ткацькому верстаті може бути замінена умовної еквівалентної довжиною вільного ділянки основи, який піддається рівномірної і тривалої деформації при натягу нитки.

Розрахункова довжина основи при заправці ткацького верстата:

$$L_0 = L_{екв} + L_1 + L_2 + L_3, \quad (1.7)$$

					БРМА 24.00.00.000 ПЗ	Арк. 12
Зм.	Арк.	№докум.	Підпис	Дата		

У цьому рівнянні діаметр гальмівного диска D є постійною величиною. Діаметр обмотки основи B зменшується в міру його спрацьовування, і якщо гальмівне зусилля $Nab\omega R$ залишається постійним, то натяг підстави KST збільшується в гіперболічній залежності.

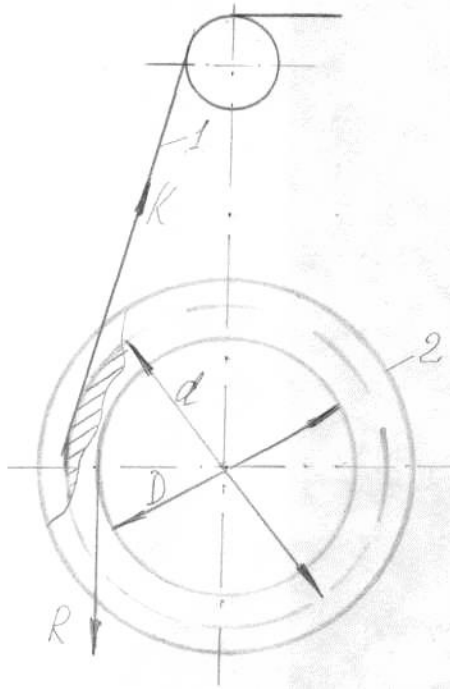


Рисунок 1.1 – Загальна схема гальмування ткацького навою

Для підтримки постійного режиму натягу основи необхідно, щоб при зменшенні діаметра намотування ткацького верстата відповідно зменшувалося його гальмування.

1.3 спосіб подачі нитки на ткацький верстат

Існує 2 способи подачі уточної нитки на ткацький верстат: човниковий і без качка.

При човниковому методі качкова нитка вводиться в отвір насадки в центрі човника і переміщається разом з нею. Цей метод використовується на

Зм.	Арк.	№докум.	Підпис	Дата

уточнення і компенсатор 5, утворюючи пристрій 6 для укладання пряжі [BRMA24.00.00.000d1, фіг.1].

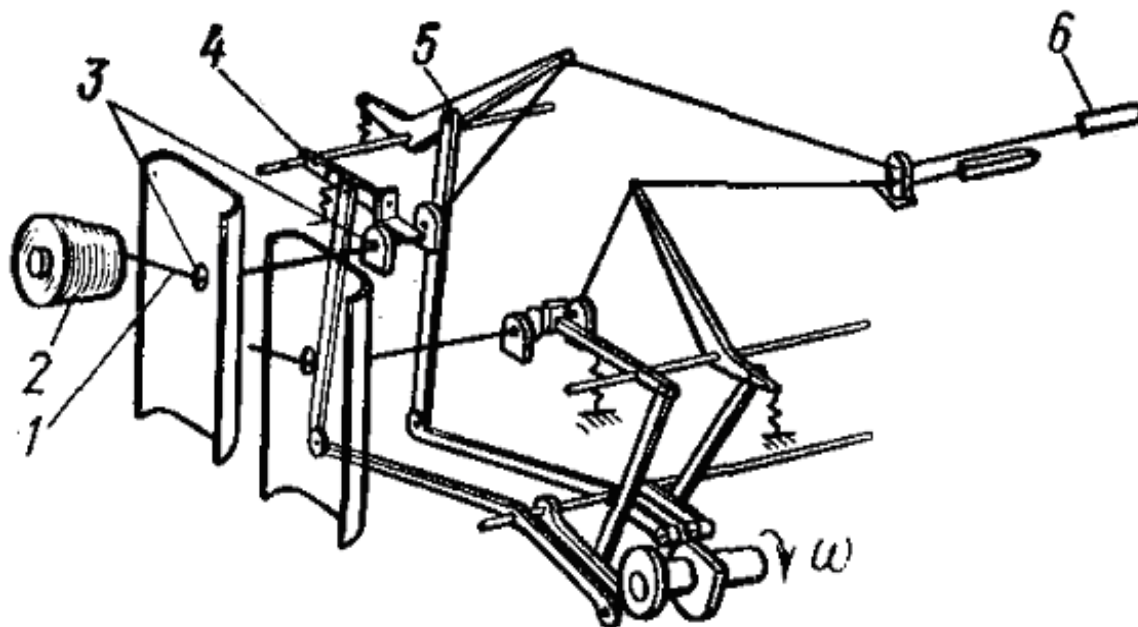


Рисунок 1.2 – Схема живлення утком безчовникових ткацьких верстатів безпосередньо з паковки

Згідно з другою схемою (фіг. 1.3), пряжа 1 змотується з насадки 2 і накопичується в вимірювальному пристрої 7 або накопичувачі, з якого вона надходить в гальмо качкової нитки 4 і потім проходить через компенсатор 5. При будь-якій схемі можлива одностороння, ліва або права, а також двостороння подача уточної нитки в машину, що залежить від способу приміщення качки в горловину [BRMA24.00.00.000d1, малюнок 2].

Зм.	Арк.	№докум.	Підпис	Дата

БРМА 24.00.00.000 ПЗ

Арк.
18

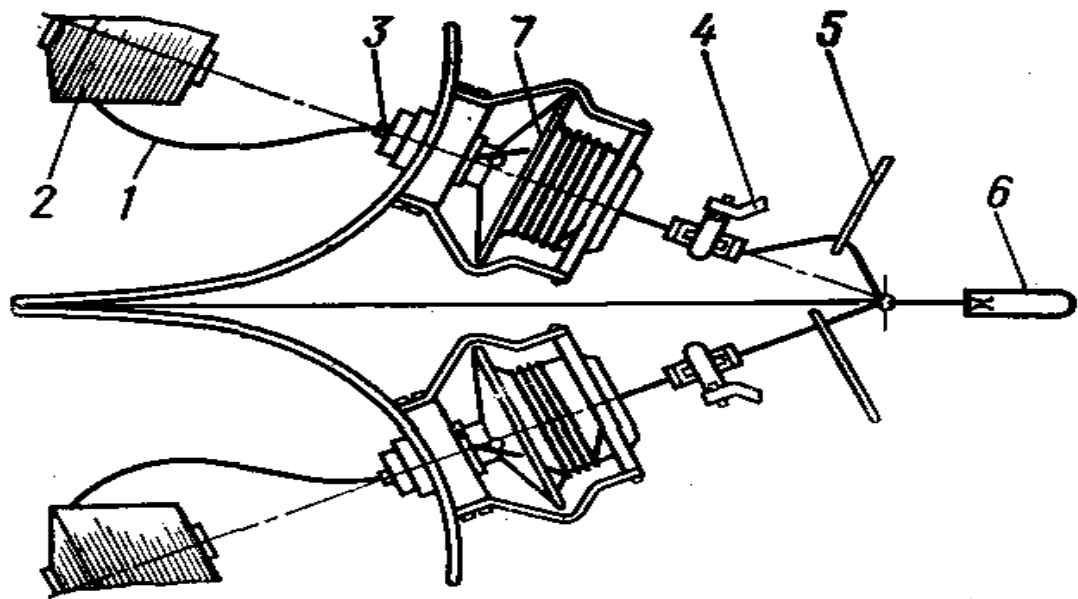
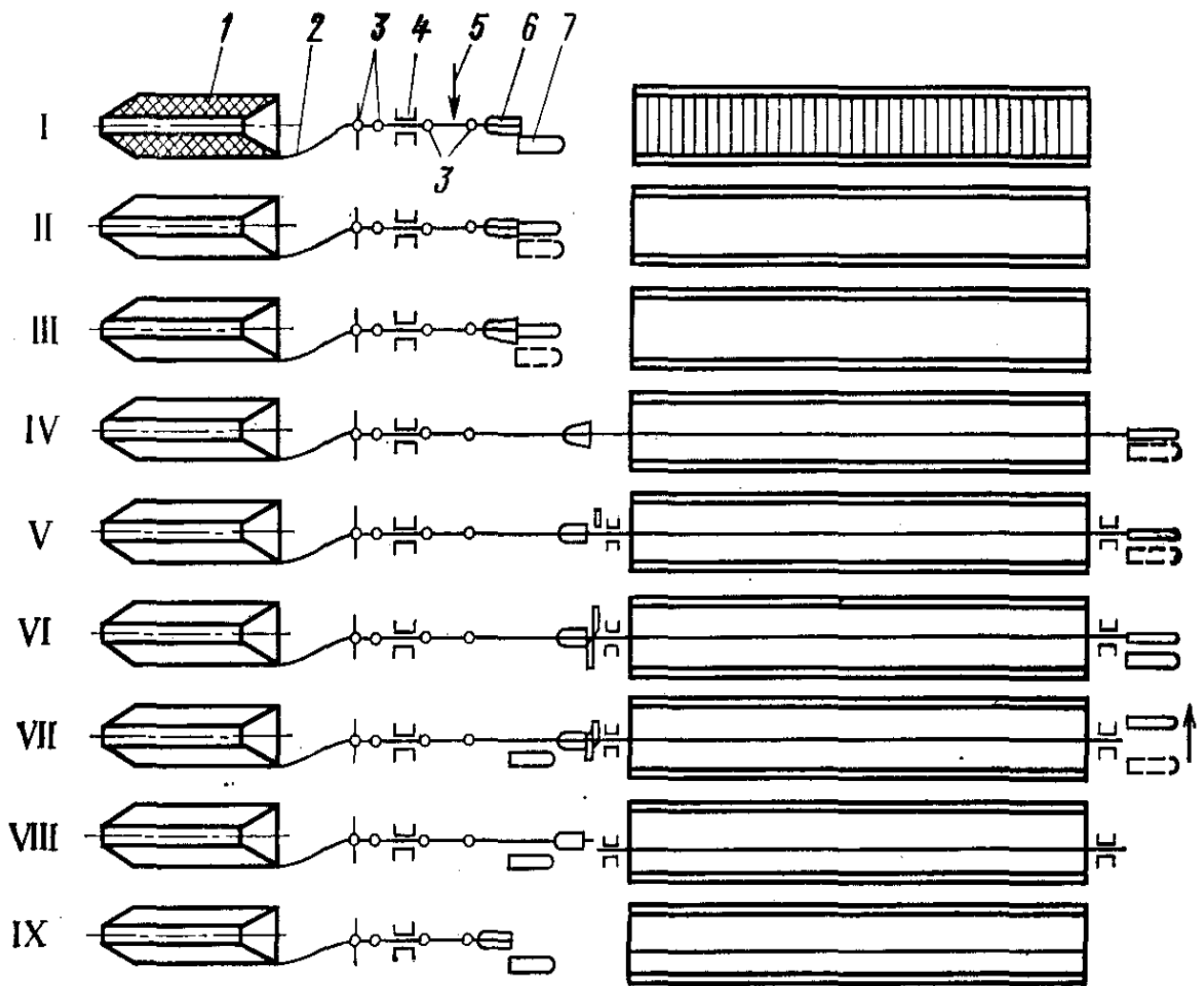


Рисунок 1.3 – Схема живлення утоком безчовникових ткацьких верстатів з нитконакопичувача

Подача нитромедной нитки по качку має ряд переваг в порівнянні з подачею уточної нитки безпосередньо з упаковки. Відомо, що при намотуванні нитки в осьовому напрямку з нерухомої насадки, наприклад поперечної намотування, натяг нитки у верхній частині циліндра змінюється в залежності від його висоти, діаметра насадки, стану сполучної поверхні, швидкості намотування та інших факторів. Коли лінійна щільність пряжі збільшується, перераховані вище фактори сильно впливають на її натяг. Тому при подачі уточної нитки в машину по 1-й схемі нитка надходить в горловину зі змінним натягом, яке поступово збільшується в міру зменшення діаметра наповнювача. Зміни в складі нитки, покладеної в горловину, впливають на структуру тканини, при її виготовленні і на сам процес розташування качка.

Згідно з 2-ю схемою, нитка намотується з накопичувача пряжі, який характеризується певним діаметром вимірювального барабана, коефіцієнтом тертя нитки Об його поверхню, кутом нахилу катушки щодо її осі, висотою балона розмотується пряжі, і інші параметри. Таким чином, середнє натяг качка

Зм.	Арк.	№докум.	Підпис	Дата



1 – початок; 2 – уточна нитка; 3 – нерухомі нитконапрямлювачі; 4 – уточне гальмо; 5 – компенсатор; 6 – ниткотримач; 7 – прокладчик утоку.

Рисунок 1.4 – Схема живлення утком з початка типу „Ракета” для безчовникових ткацьких верстатів:

1.4 Пристрої для відмірювання і накопичення уточної нитки для ткацьких верстатів.

Привід качка і вимірювальний пристрій призначені для намотування качка з фіксованою упаковки необхідної довжини для формування

Зм.	Арк.	№докум.	Підпис	Дата

БРМА 24.00.00.000 ПЗ

Арк.
22

барабані корпусу пристрою. Кількість витків пряжі на барабані регулюється фотоелементом [BRMA24.00.00.000d1, рис. 4].

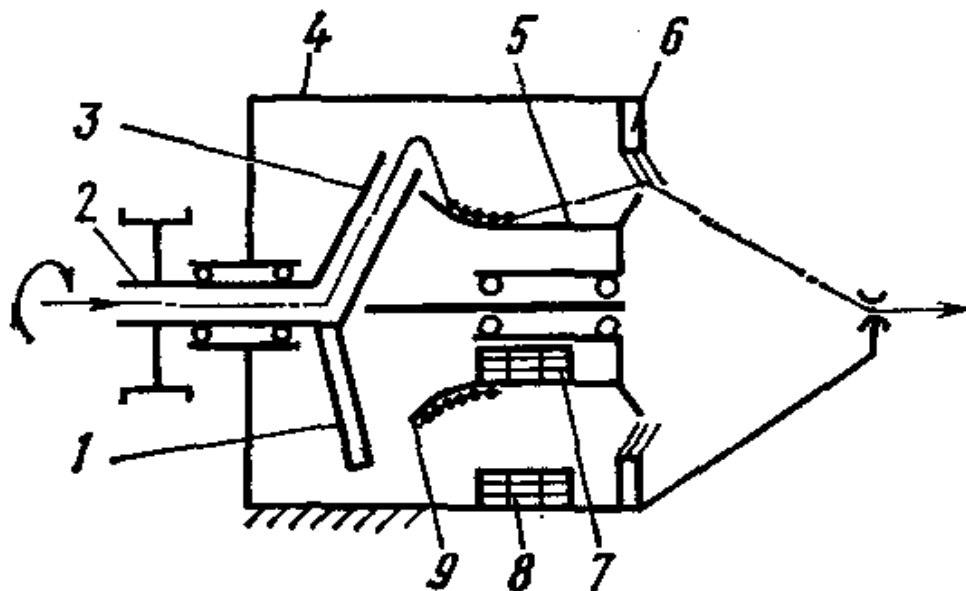


Рисунок 1.5 – Схема накопичувача нитки фірми Зульцер (Швейцарія)

Компанія Rosen (Швейцарія) розробила пристрій, який співвісно прикріплює накопичувальний барабан 3 до держателю-метелику і має вертикальну проріз у верхній частині (рис. 1.6) [BRMA24.00.00.000d1, рис. 5] для подачі великої кількості пряжі.

Зм.	Арк.	№докум.	Підпис	Дата

БРМА 24.00.00.000 ПЗ

Арк.
26

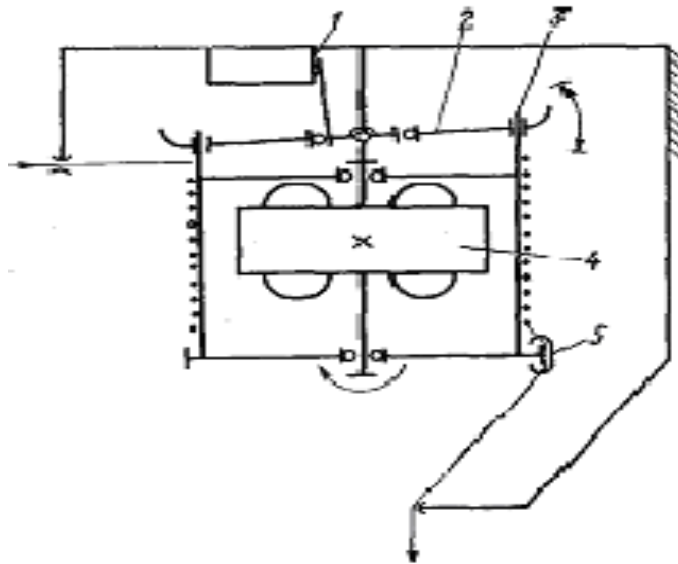


Рисунок 1.6 – Схема накопичувача нитки фірми Розен (Швейцарія).

У центрі барабана 3 розташований статор 4 електродвигуна, ротором якого є обичайка барабана. Над статором 4 до осі барабана шпильками закріплений вібруючий похилий диск 2, зуби якого виступають з паза корпусу барабана 3 і взаємодіють з перемикачем статора 4 електродвигуна 1. Коли машинка включена, нитка від малятка проходить через нитководитель, охоплюючи барабан на кілька оборотів, проходить через повзунки 5, прикріплені до його фланця роликової стінкою, і направляється в зону укладання. Нитка проходить по дотичній до поверхні барабана і намотується під диском 2, чинячи тиск на барабан. При відхиленні диск включається натисканням на Перемикач стану 4 електродвигуна. Барабан починає обертатися, і нитка, котушка з якої розташована під похилим диском, намотується до тих пір, поки положення цього диска не зміниться під дією котушки. Після намотування певної кількості витків пряжі електродвигун вимикається і барабан зупиняється. Під час намотування вільного кінця барабана нитки перекочуються повзунками по ребрах у формі рейок в поперечних перерізах, тим самим запобігаючи намотування великої кількості

Зм.	Арк.	№докум.	Підпис	Дата

БРМА 24.00.00.000 ПЗ

Арк.
27

намотування і підвищити точність вимірювання довжини з накопичених ниток, підтримуючи їх вивільнення з приводу. Є надія, що вона зможе задовольнити потреби своїх клієнтів.

У багатьох механізмах зберігання використовується стиснене повітря для транспортування пряжі від упаковки до робочого механізму і її намотування. Такі пристрої відрізняються від механічних простотою конструкції, але вони менш універсальні, потрібні економічно вигідні і надійні системи подачі стисненого повітря.

Існує велика група накопичувальних пристроїв, в яких процес змотування пряжі з упаковки поєднаний з формуванням її проміжного запасу органом накопичення. І це тільки мала частина пристрою. Розглянутий спосіб розділяє ці 2 процеси на незалежні і конструктивно об'єднує їх в 1 систему.

Механізм компенсації уточной нитки 1.5

У нечутливих ткацьких верстатах механізм компенсації качкової нитки (компенсатор) встановлюється між корпусом і плоттером. Вони витягують зайву нитку з глотки після укладання і випускають її в глотку в процесі укладання, щоб переміщати плоттер з ниткою в глотці, забезпечуючи певні умови для формування тканин. Як правило, компенсатор накопичує його у вигляді однієї або декількох хвиль, перш ніж прокласти уточную нитку в горловину.

Різні конструкції коректорів уточной нитки можна класифікувати за такими основними ознаками (Таблиця 1.1).:

Залежно від способу втягування нитки в компенсаційну петлю (вібраційним або поступальним ланкою, кінематично пов'язаним з приводом; силою тертя ваги і силою пружності пружини).;

Відповідно до способу регулювання довжини компенсаційного контуру (кінематичні параметри механізму, наприклад, шляхом зміни довжини

					БРМА 24.00.00.000 ПЗ	Арк.
						29
Зм.	Арк.	№докум.	Підпис	Дата		

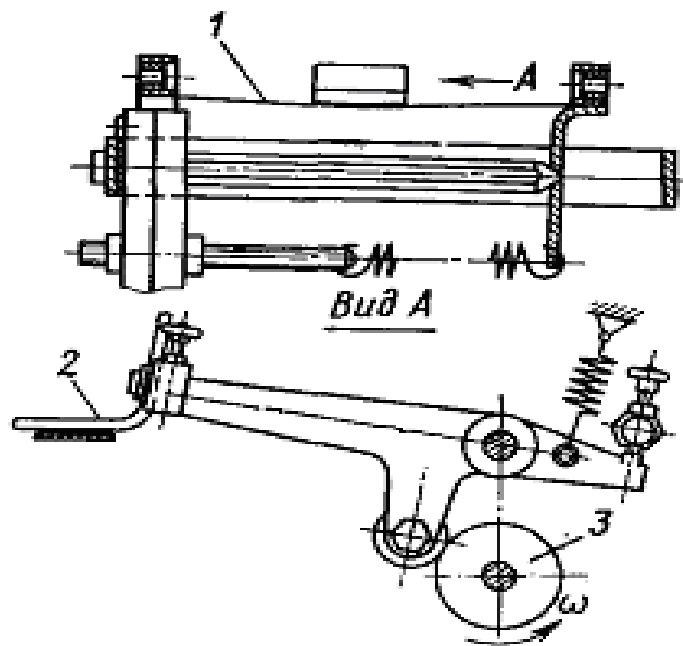


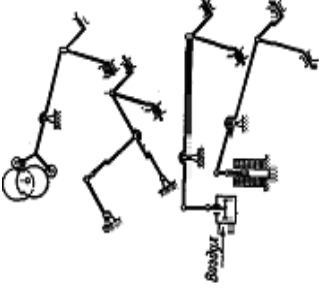
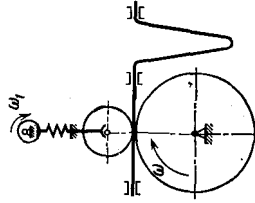
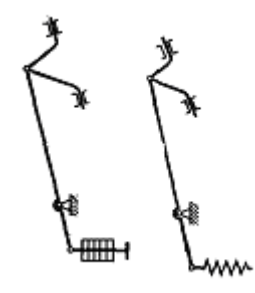
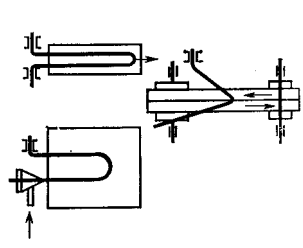
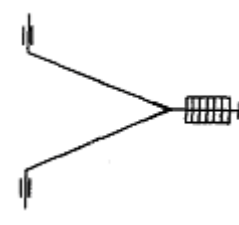
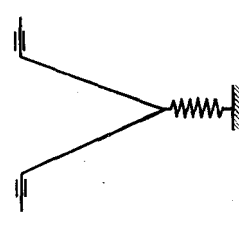
Рисунок 1.8 – Механізм гальмування уточної нитки ткацького верстата типу
СТБ

Зм.	Арк.	№докум.	Підпис	Дата

БРМА 24.00.00.000 ПЗ

Арк.
31

Таблиця 1.1 – Класифікація компенсаторів уточної нитки.

Спосіб регулювання довжини петлі	Важільні	Фрикційні	вантажні	пружинні
Спосіб відтяжки нитки в компенсаційну петлю	Важелем, який переміщується примусово	Силою тертя	вантажем	пружиною
Зміна кінематичних параметрів механізмів (тип I з визначеною довжиною петлі)				
Зміна натягу нитки (тип II з невизначеною довжиною петлі)				

Компенсаційний важіль 5 (рис. 1.7) здійснює коливальні рухи від кулачка 6 в площині, перпендикулярній осі руху різьби. Кулачки 3 (малюнок 1.7) і 6 (малюнок 1.8) переміщуються з затиску для повернення нитки в затиск плоттера перед початком укладання за законом переміщення, який збігається з переміщенням нитки в горловині і переміщенням різьбового ротора і виштовхувача плоттера з приймальної коробки. Останній становить близько 0,005-0,006 секунди, залежно від сили скручувального удару mechanism.p.It при попаданні в рот прискорюється до швидкості $\max=20\dots25$ м / с. У роті плоттер переміщається по направляючої, яка закріплена на батумбарі. В кінці прокладки вона потрапляє в приймальну коробку, де приводиться в дію гальмо, з якої проштовхується в транспортер і повертається до місця, де буде заправлена різьбленням. Перед видавлюванням нитки з плоттера її звільняють від затиску і протягують через весь отвір за допомогою компенсатора. У той же час уточной гальмо затискає нитку і не дає їй зіскочити з дитини. Для того щоб компенсатор і уточной гальмо виконували свої функції відповідно до технічних вимог, закон руху важеля компенсатора і лапки уточной гальма повинен відповідати закону руху плоттера і уточной нитки в горловині протягом усього циклу роботи ткацького верстата.

Різна лінійна щільність і різні типи різьб для надійної роботи на верстатах типу STB необхідно створити кулачок з певним профілем для кожної групи різьб (великої, середньої і малої лінійної щільності), враховуючи закони руху плоттера і фізико-механічні властивості різьб.

Висновки до першого розділу

Якісне плетіння ниток основи, а отже, і виробництво високоякісних тканин, залежить від багатьох факторів, одним з яких є потужність ткацького верстата.1 розглядаючи різні способи подачі ткацького верстата,

									Арк.
									33
Зм.	Арк.	№докум.	Підпис	Дата					

БРМА 24.00.00.000 ПЗ

можна відзначити, що основну роль відіграє механізм компенсації качка, і його якість характеризує той чи інший спосіб подачі ткацького верстата. В результаті проблеми дослідження і моделювання механізмів компенсації качка в ткацьких верстатах є актуальними і заслуговують на увагу в даний час.

					БРМА 24.00.00.000 ПЗ	Арк.
						34
Зм.	Арк.	№докум.	Підпис	Дата		

2.2 Технологічна схема верстату СТБ

Технологічна схема верстату СТБ показана на рисунку 2.1.

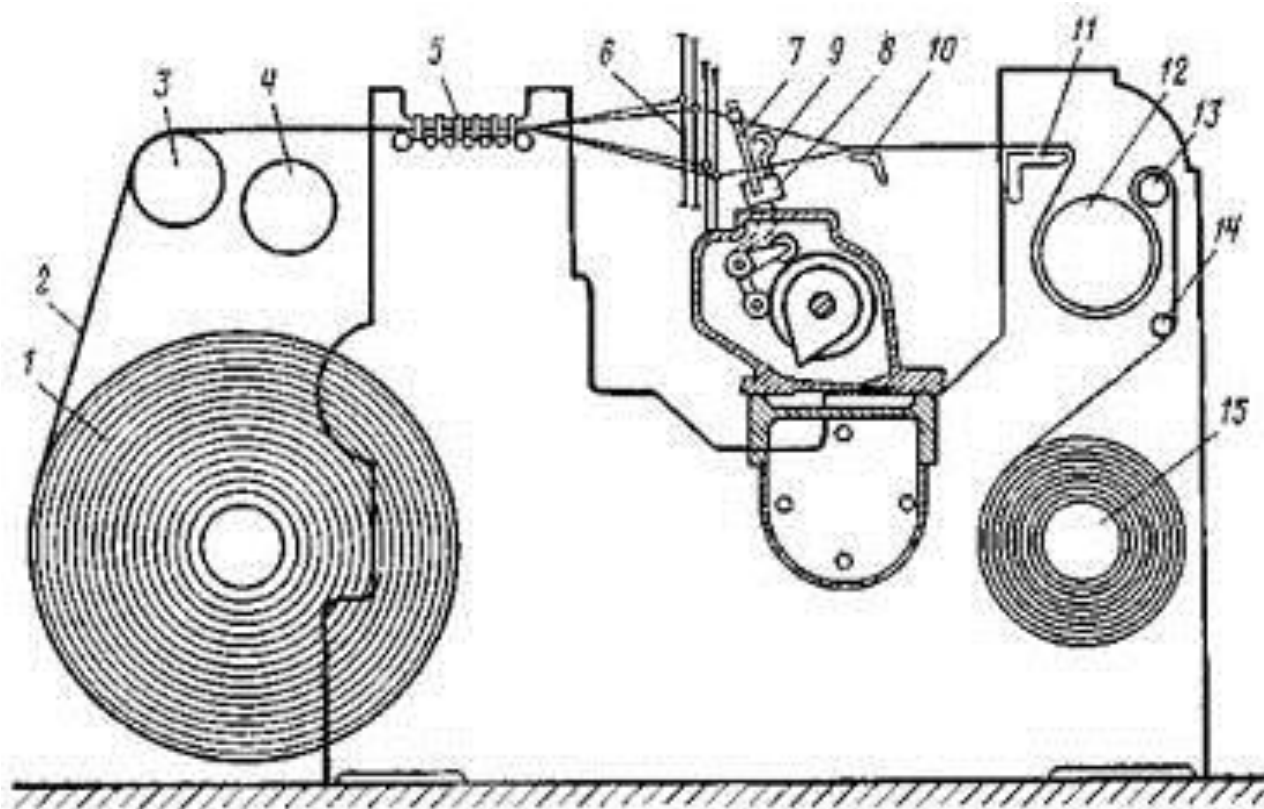


Рисунок 2.1 – Схема заправки станка СТБ

Навої 1 (рисунок 2.1) з основою поміщають в задній нижній частині верстата СТБ. Змотуються з навою основні нитки 2 огинають скало 3 і приймають горизонтальне положення. Далі нитки проходять над підскальною трубою 4, через ламелі 5 основонаправляча, галева ремізних рамок 6 і бердо 7, яке закріплене в пазу бруса батана 8.

Якщо ви рухаєте деякі стрічки вгору, а інші вниз, між групами ниток утворюється зазор, який називається "горловиною", в якому качечна нитка прикріплюється до пристрою для прокладання качечної нитки, а потім

Зм.	Арк.	№докум.	Підпис	Дата

БРМА 24.00.00.000 ПЗ

Арк.
38

утворюється нова горловина. У нього вставляється новий качок, і весь процес формування тканини повторюється.

Зібрана тканина проходить через опору 10, огинаючи скриню 11, і намотується на ваги 12, притискної валик 13 і віджимний валик 14, а також товарний валик 15.

Основною особливістю верстатів СТБ (в тому, що стосується утворення тканини) є прокладання утоку в зіві малогабаритними прокладальниками утоку.

Технічні характеристики верстатів СТБ приведені в таблиці 2.1.

Таблиця 2.1 – Характеристика верстатів СТБ, оснащених кулачковим зівоутворювальним механізмом.

Показник	Група станків			
	перша	друга	третя	п'ята
Заправочна ширина по берду, см полотна				
одного	180	220	250	330
двох	—	108,52	123,5×2	163,5×2
трьох	—	—	81,3×3	108×3
Діапазон щільностей по утку, ниток на 1 см	6-75	6-75	6-75	6-75
Коефіцієнт наповнення по тканині	1,5	1,25	1,0	0,9
Кількість прокладчиків утоку, максимальне	12	13	15	17
Кількість навоїв, шт.	1	1, 2	1, 2	2
Діаметр ствола навоїв, мм		50	50	
Діаметр дисків навоїв, мм	600, 700, 800			

З лівого боку головного валу, через конічні шестерні Z1, Z2, бічний вал отримує переміщення і кріпиться до свого пазу. Бойовий кулачок для закручування і відпускання торсіонного ролика ударно-спускового механізму, трифазний ексцентрик для приведення в дію підйомника 10 плоттера, відкривача губок і відкривача 7 поворотної пружини качка.

Від горизонтальної осі 8, через зубчасту передачу Z3-Z7 і ланцюгові передачі Z8, Z9, конвеєрна ланцюг приводиться в рух і переміщається до бойової скриньки від приймального плоттера.

Горизонтальна вісь передає рух на монтажний вал через ланцюговий привід Z10, Z11. Від заднього кінця приводного валу 11 через муфту 12 черв'ячних передач Z12, Z13 і пари зубчастих коліс Z14, Z15 рух передається на приводний механізм 13. При бажанні примусове зворотне обертання набою (подача або натяг підстави) може здійснюватися знімною рукояткою через шестерні z16, z17.

Від установочного вала 11 через зірочки ланцюгових приводів Z18, z19 і циліндричні пари Z20, Z21 приводиться в обертання парний ексцентриситет механізму 14 формування зів, а ролик 15 і важільна система з'єднуються.

Від переднього кінця вала 11 встановлюють через черв'ячну пару z22 і Z23 храповик Zxг. Причому шестерні А, В, С, D, Z24-Z28 приймають рух ролика 15 для видалення скопилася тканини, а маховик, з'єднаний з приводом через зірочки Z29, Z30 і муфту зчеплення 19, призначений для ручного управління.

Від головної осі розподільний вал приводиться в рух через 3 Циліндричні шестерні Z31-Z33, а в його пазах закріплені рифлений кулачок механізму формування кромки, кулачок бойової коробки і кулачок компенсатора качка з гальмом. Фрикційний механізм складається з 2 дисків, які притискаються один до іншого. Коли один з них обертається, інший 1 починає рухатися за рахунок

					БРМА 24.00.00.000 ПЗ	Арк.
						41
Зм.	Арк.	№докум.	Підпис	Дата		

виникає сили тертя. Сила стиснення може бути постійною за обсягом або змінною, змінюючись автоматично.

У порівнянні з іншими, фрикційні механізми мають ряд переваг. Вони прості, недорогі і безшумні в експлуатації. До їх недоліків можна віднести мінливість передавального числа, пов'язану зі ковзанням, необхідність в спеціальних притискних пристроях.

Матеріал, з якого виготовлений диск, повинен відрізнятися високою зносостійкістю і, можливо, більш високим коефіцієнтом тертя. У верстатах СТВ, де в приводному механізмі, складальному механізмі і головному регуляторі між ведучим і веденим дисками використовуються фрикційні шестерні, таким матеріалом є мідно-азбестова прокладка з високим коефіцієнтом тертя.

2.4 Розробка кінематичних схем механізмів компенсації утокових ниток текстильних машин

Відомий гвинтовий компенсатор Качка [1] виконаний у вигляді планетарного механізму, в якому закріплено сонячне колесо, а опорний елемент в пазу, в якому закріплено гвинтове водило, встановлений радіально до сателіту.

Такий механізм має ряд недоліків:

- Створюють підвищений шум;
- Конструктивно складні;
- Обмежене регулювання за законом переміщення різьби;

					БРМА 24.00.00.000 ПЗ	Арк.
						42
Зм.	Арк.	№докум.	Підпис	Дата		

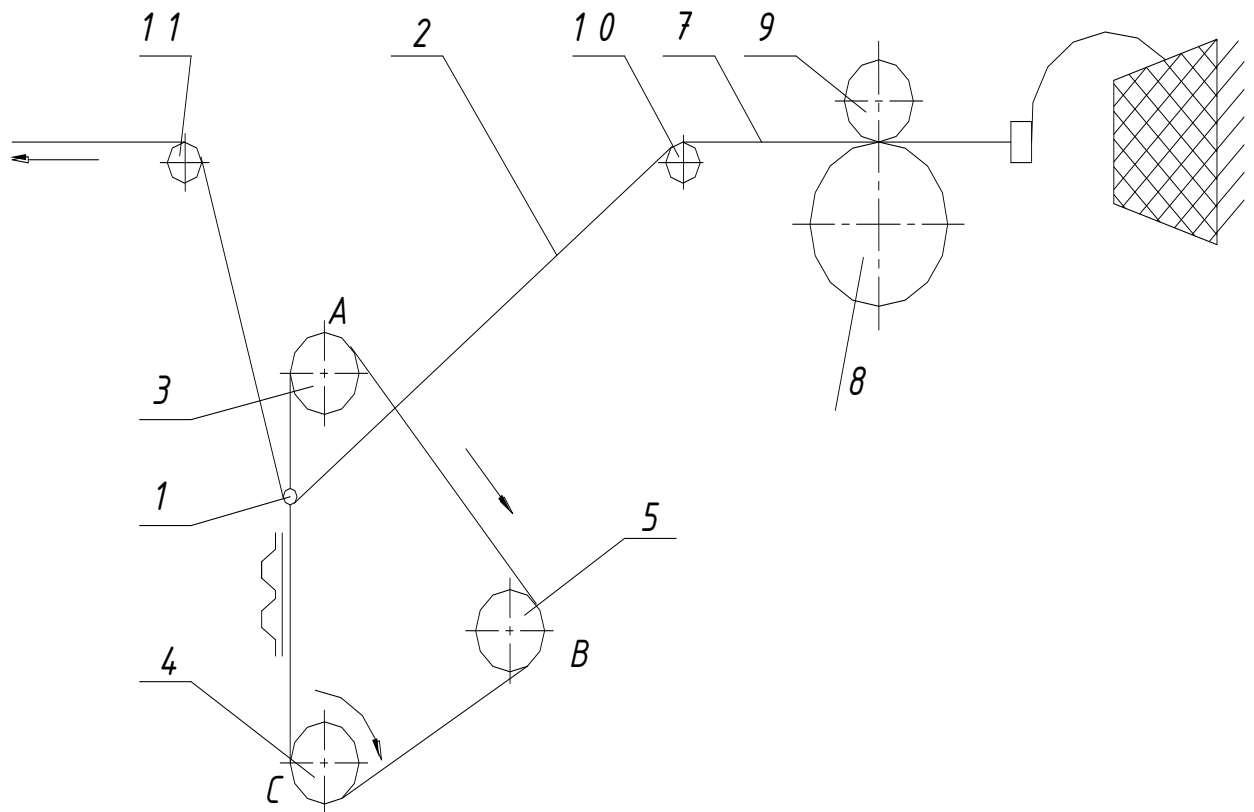


Рисунок 2.2 - Механізм компенсації уточної нитки з трьома зубчастими колесами

Під час роботи ткацького верстата зубчастий ремінь 2 приводиться в рух приводний шестернею, і тримач 1 нитки переміщається разом з ним. На ділянці ABC переміщення держателя нитки 1 (рис. 2.2) качок 7 накопичується, а на ділянці CA нитка вивільняється в горловину. Змінюючи кількість, положення та діаметр зубчастих коліс, ми отримуємо різні співвідношення етапів накопичення та вивільнення нитки, тобто мінімальна кількість зубчастих коліс ($n=2$), які наближають нитку качки до теоретичної, визначається можливостями зубчастої передачі. Максимальна кількість зубчастих коліс ($n=8$) визначається тим фактом, що подальше збільшення числа зубчастих коліс ускладнює конструкцію механізму [BRMA24.00.00.000k2, малюнок 2].

Зм.	Арк.	№докум.	Підпис	Дата

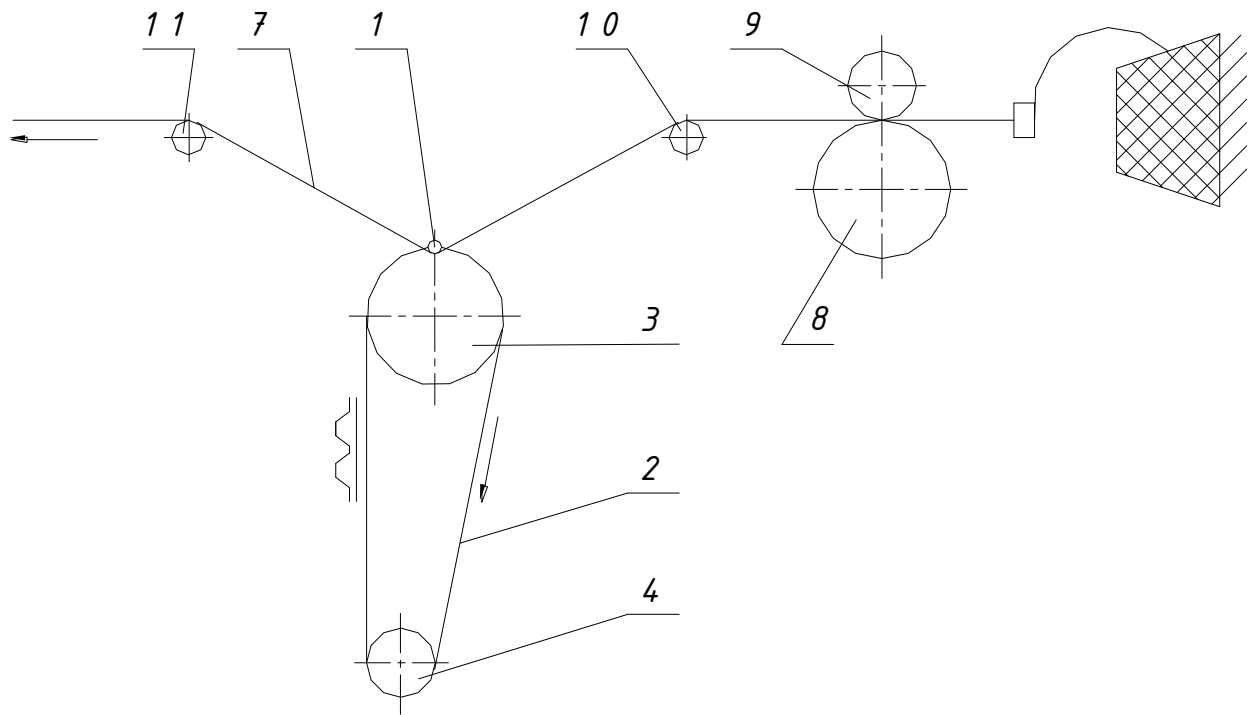


Рисунок 2.3 - Механізм компенсації уточної нитки з мінімальною кількістю зубчатих коліс ($n=2$)

Наближення дійсної функції подачі уточної нитки до теоретичної дозволяє зменшити динамічне навантаження на нитку, тим самим зменшити обривність нитки [БРМА 24.00.00.000К2, рисунок 3].

Зм.	Арк.	№докум.	Підпис	Дата

БРМА 24.00.00.000 ПЗ

Арк.
45

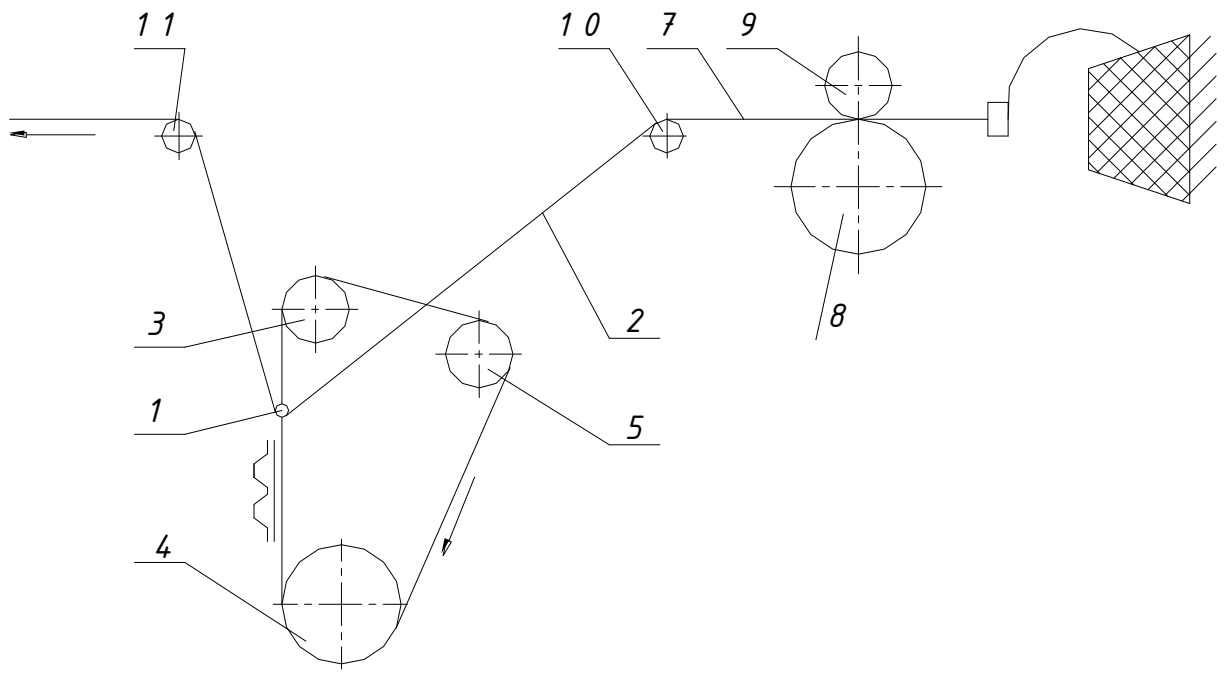


Рисунок 2.4 - Механізм компенсації уточної нитки з трьома зубчатыми колесами

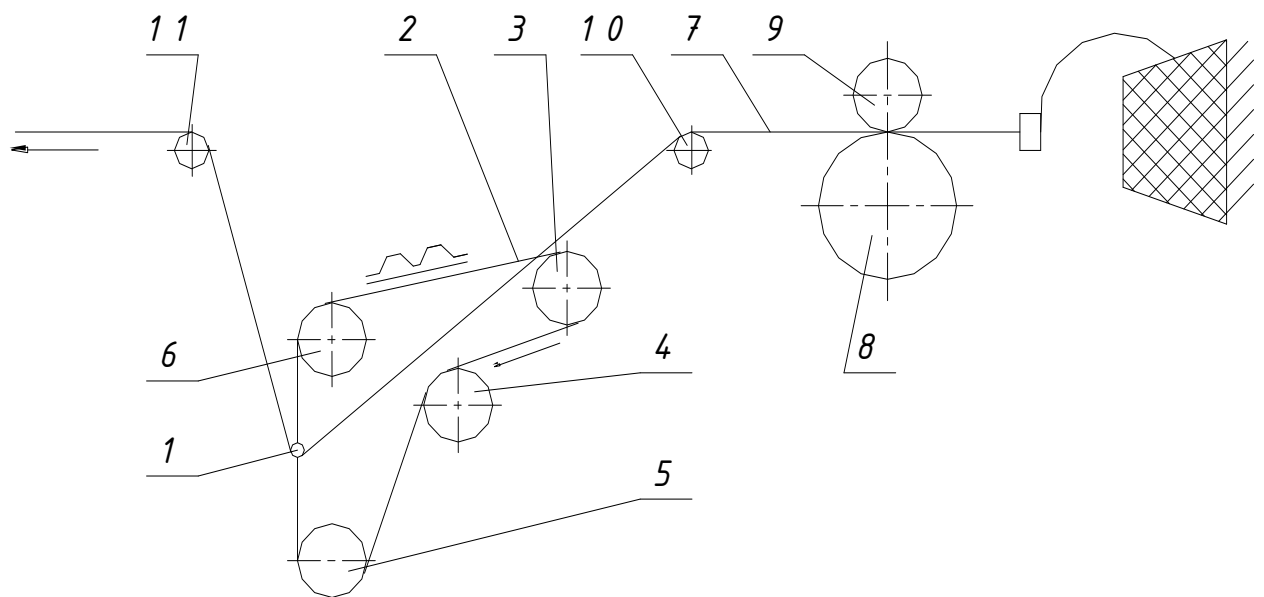


Рисунок 2.5 - Механізм компенсації уточної нитки з чотирма зубчатыми колесами

Зм.	Арк.	№докум.	Підпис	Дата

БРМА 24.00.00.000 ПЗ

Арк.
46

Новизна полягає в тому, що пристрій включає в себе компенсаційний механізм, виконаний у вигляді вимірювального барабана, зубчасту передачу з притиснутим до неї роликком, направляючий ролик з різьбленням закріплений на своєму ході, а зубчаста передача має провідне колесо, обтічник і, щонайменше, 1 натяжна колесо. Використання зубчастої ремінної передачі дозволяє подавати качкову нитку практично з будь-якою швидкістю, а шляхом вибору кількості і положення натяжного колеса можна регулювати напрямок подачі качкової нитки [BRMA24.00.00.000k2, малюнок 4].

Продукт може бути використаний в області текстильного машинобудування – при проектуванні пневматичних конвеєрних машин. Сьогодні пневматичні качкові машини використовують обладнання для подачі качкових ниток з кривошипно-шатунними компенсаційними механізмами, які створюють великі динамічні навантаження. Ведеться підготовка до виготовлення дослідних зразків і експериментальних досліджень.

Висновки до другого розділу

Розроблений високоефективний механізм корекції качка наближає фактичну функцію подачі качкової нитки до теоретичної, знижує динамічне навантаження на пряжу, зменшує її обрив і дозволяє подавати качкову нитку практично з довільною швидкістю за допомогою зубчастої передачі, а закон подачі качкової нитки можна регулювати, вибираючи кількість і положення натяжного колеса. .

										Арк.
										47
Зм.	Арк.	№докум.	Підпис	Дата						

3 АНАЛІТИЧНІ ДОСЛІДЖЕННЯ ВИСОКОЕФЕКТИВНИХ МЕХАНІЗМІВ КОМПЕНСАЦІЇ УТОЧНОЇ НИТКИ ДЛЯ БЕЗЧОВНИКОВИХ ТКАЦЬКИХ ВЕРСТАТІВ

На малюнку 3.1 показана Розрахункова схема механізму компенсації качка, носій нитки якого переміщається строго по колу [БРМА 24.00.00.000РР1].

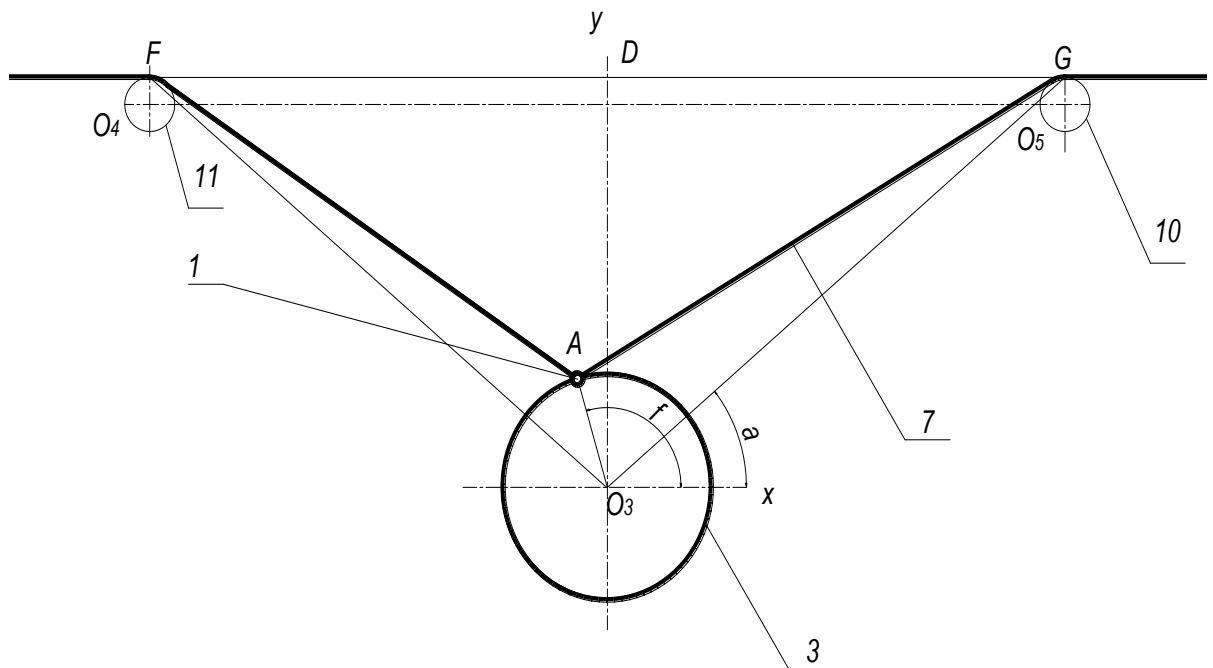


Рисунок 3.1 – Механізм компенсації нитки.

Компенсаційний механізм зображений у вигляді кола радіусом R , центром якого є точка t з координатами (x, y) . Він розташований у точці O_3 . Точка a рухається по колу зі швидкістю ω , утворюючи радіус-вектор O_3A . поверніть радіус-вектор o_3a на кут φ в деякій точці. Т. оскільки a рухається по колу, $O_3A=r = \text{const}$, але значення AF і AG змінюються, і в кінцевому результаті має бути отримано рівняння їх руху.

Зм.	Арк.	№докум.	Підпис	Дата

Різьба має координати (x_1, Y_1) . Різьба з центром обертання, рівним O_3 , і точкою t , радіус якої дорівнює R . o_5, O_4 , що проходить через напрямні 10, 11 різьби, що мають центр обертання.

Розглянемо трикутник AOB .

$AO_3=R$ -радіус-вектор;

Знайдіть відрізок O_3G за координатами точок O_3 і N і позначте його як o_5 .

$$O_5 := \sqrt{(x_2)^2 + (y_2 + r)^2} \quad (3.1)$$

Знайдемо кут нахилу вектора O_3G до осі Ox .

Нехай на осі Ox лежить вектор x з координатами (x_3, y_3) , тоді його абсолютне значення

$$X := \sqrt{x_3^2 + y_3^2} \quad (3.2)$$

кут α матиме вигляд

$$\alpha := \arccos \left[\frac{x_2 x_3 + (y_2 + r) \cdot y_3}{\sqrt{(x_2)^2 + (y_2 + r)^2} \cdot \sqrt{x_3^2 + y_3^2}} \right] \quad (3.3)$$

Кут AO_3G позначимо як β , та виразимо через φ

$$\beta = \varphi - \alpha \quad (3.4)$$

З трикутника AO_3G за теоремою косинусів знаходимо сторону AG :

Зм.	Арк.	№докум.	Підпис	Дата

$$AG = \sqrt{AO_3^2 + O_3G^2 - 2 \cdot AO_3 \cdot O_3G \cdot \cos \beta} \quad (3.5)$$

В загальному вигляді формула (3.5) буде мати вигляд

$$AG := \sqrt{R^2 + \left[\sqrt{(x-x_2)^2 + [y-(y_2+r)]^2} \right]^2 - 2 \cdot R \cdot \sqrt{(x-x_2)^2 + [y-(y_2+r)]^2} \cdot \cos \left[\phi - \arccos \left[\frac{x_2x_3 + (y_2+r) \cdot y_3}{\sqrt{(x_2)^2 + (y_2+r)^2} \cdot \sqrt{x_3^2 + y_3^2}} \right] \right]} \quad (3.6)$$

Для подальших обчислень необхідно визначити кут між векторами O_3F , tao_3g . $t.f$ і T . G - це T . цей трикутник рівнобедрений, оскільки він рівновіддалений від O_3 . Всі сторони цього трикутника нам відомі, тому, згідно з теоремою косинусів, ми можемо знайти кут між векторами O_3F , tao_3g .

$$FG^2 = O_3F^2 + O_3G^2 - 2 \cdot O_3F \cdot O_3G \cdot \cos \gamma \quad (3.7)$$

Так, як трикутник рівнобедрений, то дану формулу можна дещо спростити

$$FG^2 = 2 \cdot O_3F^2 - 2 \cdot O_3F^2 \cdot \cos \gamma = 2 \cdot O_3F^2 \cdot (1 - \cos \gamma)$$

Виразивши γ та привівши до загального вигляду отримаємо такий вираз

$$\gamma := \arccos \left[1 - \frac{FG^2}{\left[\sqrt{(x_2)^2 + (y_2+r)^2} \right]^2 \cdot 2} \right] \quad (3.8)$$

Виразимо кут FO_3A через відомі параметри

$$\varepsilon := \phi - \frac{\pi}{2} - \frac{\arccos \left[1 - \frac{FG^2}{\left[\sqrt{(x2)^2 + (y2 + r)^2} \right]^2 \cdot 2} \right]}{2} \quad (3.9)$$

Розглянемо трикутник FAO3. Оскільки ми знаємо дві сторони AO3 і FO3 і кут між ними, ми можемо визначити третю сторону FA відповідно до теореми про косинуси для будь-якого трикутника.

$$FA = \sqrt{FO_3^2 + AO_3^2 - 2 \cdot AO_3 \cdot FO_3 \cdot \cos \varepsilon} \quad (3.10)$$

Привівши формулу (3.10) до загального вигляду та підставивши необхідні значення отримаємо такий вираз для визначення сторони FA:

$$FA := \sqrt{\left[\sqrt{(x2)^2 + (y2 + r)^2} \right]^2 + R^2 - 2 \cdot R \cdot \left[\sqrt{(x2)^2 + (y2 + r)^2} \right] \cdot \cos \left[\phi - \frac{\pi}{2} - \frac{\arccos \left[1 - \frac{FG^2}{\left[\sqrt{(x2)^2 + (y2 + r)^2} \right]^2 \cdot 2} \right]}{2} \right]} \quad (3.11)$$

Для аналізу в рівняння підставляється значення вихідного параметра і будується залежність довжини fa і AG від кута повороту φ. Давайте встановимо радіус-вектор O3A в 12 положеннях, тобто після 30. Виводяться демографічні значення, показані на рисунку 3.2 ХВ [24.00.00.000pp2].

Зм.	Арк.	№докум.	Підпис	Дата

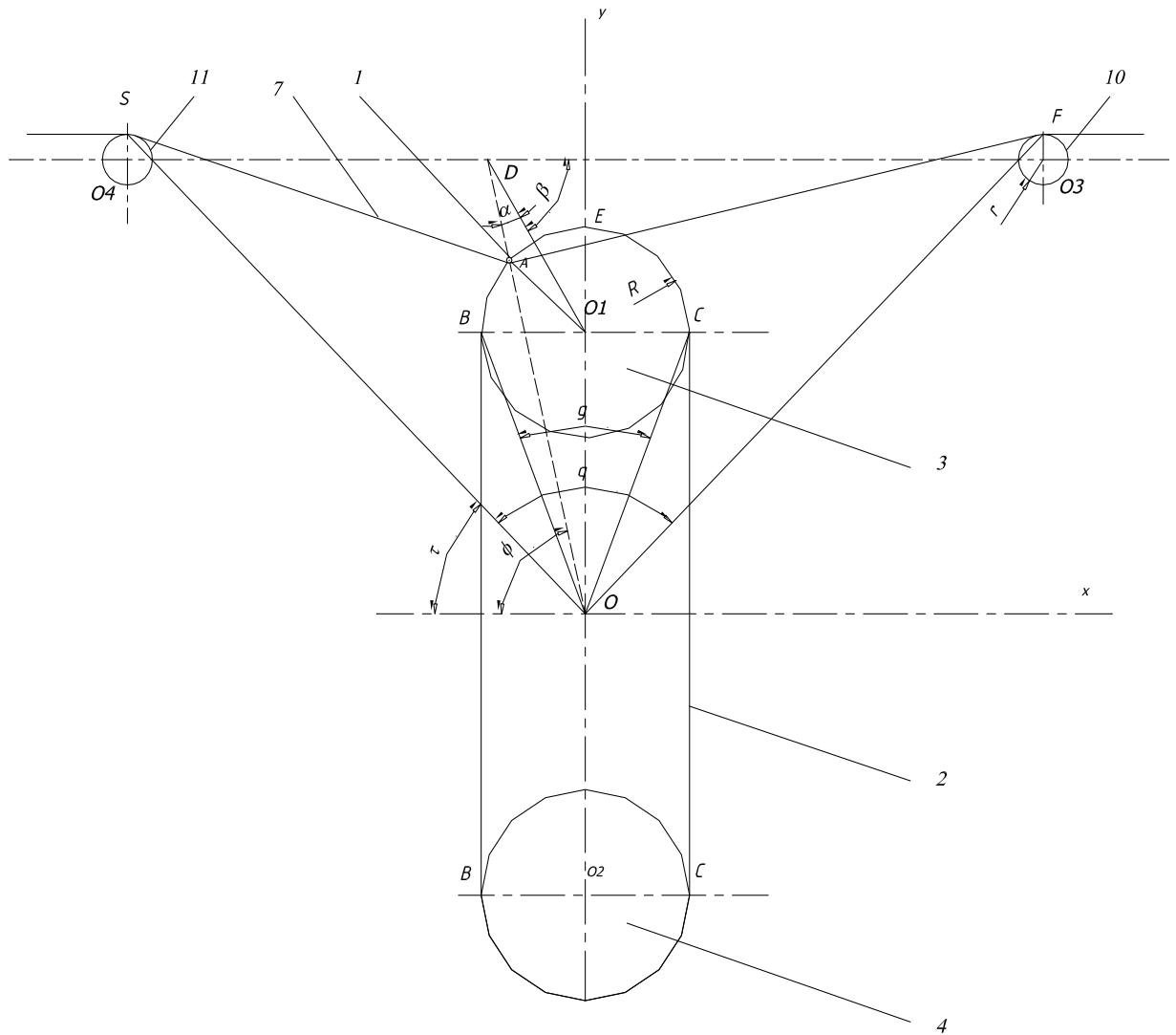


Рисунок 3.3 – Розрахункова схема механізму компенсації уточної нитки з двома роликами

Розглянемо трикутник ВОС: сторона $BC=2 \cdot R$; сторони $BO=CO$ і знаходяться з трикутника COO_1 за теоремою Піфагора, оскільки кут $CO_1O=90^\circ$.

$$BO = CO = \sqrt{(y - y_1)^2 + (x - x_1)^2 + R^2}, \quad (3.12)$$

тоді кут g можна визначити за теоремою косинусів з трикутника ВОС:

Зм.	Арк.	№докум.	Підпис	Дата

$$g = \arccos \left[\frac{(BO^2 + CO^2 - (2 \cdot R)^2)}{2 \cdot BO \cdot CO} \right]. \quad (3.13)$$

Розглянемо випадок, коли нитка приводу рухається по прямій лінії. Мене цікавить відстань від центру до нитки розжарювання, тобто ОА. Таке переміщення нитки відбувається при такому куті повороту системи:

$$\left(0 \leq \phi_1 \leq \frac{\pi}{2} - \frac{g}{2} \right) \vee \left(\frac{\pi}{2} + \frac{g}{2} < \phi_1 < \pi \right) \vee \left(\pi \leq \phi_1 \leq 3 \cdot \frac{\pi}{2} - \frac{g}{2} \right) \vee \left(3 \cdot \frac{\pi}{2} + \frac{g}{2} \leq \phi_1 \leq 2 \cdot \pi \right),$$

де ϕ_1 —кут повороту системи;

g —кут при вершині рівнобедреного трикутника ВОС.

Тоді радіус—вектор ОА матиме вигляд:

$$OA = \frac{R}{\cos(\phi_1)}. \quad (3.14)$$

Для обчислення радіус-вектора, коли нитка рухається по дузі вітрогенератора, ми створюємо додаткову конструкцію і продовжуємо радіус-вектор ОА до перетину напрямних 10, 11 нитки з віссю ОЗО4, щоб отримати точку D. розглянемо трикутник ОЕОЗ - відповідно до піфагорійського теорема, оскільки це прямий кут ОЗЕО=90°:

$$OE = \sqrt{[(x - x_3)^2 + (y - y_3)^2] - \left(\frac{(x_4 - x_3)^2 + (y_4 - y_3)^2}{4} \right)}. \quad (3.15)$$

Зм.	Арк.	№докум.	Підпис	Дата

Розглянемо трикутник EOD; сторона OE відома, кут DOE=90°-φ1, кут OED=90°, отже можна знайти сторони OD і ED за теоремою косинусів для прямокутного трикутника:

$$\begin{aligned} OD &= \frac{OE}{\cos(\pi - \phi_1)}, \\ ED &= \sqrt{OD^2 - OE^2}. \end{aligned} \quad (3.16)$$

З трикутника EO₁D, який є прямокутний, за теоремою Піфагора знаходимо O₁D та кут β:

$$\begin{aligned} O_1D &= \sqrt{ED^2 + EO_1^2}, \\ \beta &= \arcsin\left(\frac{EO_1}{O_1D}\right). \end{aligned} \quad (3.17)$$

Виходячи з того, що формула в цілому має незрозумілий неприємний зовнішній вигляд, не наводиться в загальному форматі в тексті, але робить це в додатку, в якому представлена розрахункова програма на мові програмування mathcad.

Розглянемо трикутник DO₁A; сторони DO₁ і O₁A відомі, а кут α може бути представлений кутами φ і β. Оскільки вісь O паралельна осі o₃o₄ гвинтової направляючої 1 0,1 1, а OD є секційною, кут φ=ODO₁ є універсальним, тому кут α=ADO₁ записується як::

$$\alpha = \phi_1 - \beta.$$

Тоді за теоремою косинусів можна записати вираз для визначення сторони AD, спрощений вигляд якого буде таким:

$$AD^2 - 2 \cdot AD \cdot O_1D \cdot \cos(\varphi_1) + O_1D^2 - R^2 = 0 \quad (3.17)$$

Як видно ми отримали квадратне рівняння, розв'язавши яке відносно AD знайдемо шукану величину.

$$AD = \frac{-(-2 \cdot AD \cdot O_1D \cdot \cos(\alpha)) - \sqrt{2 \cdot O_1D \cdot \cos(\alpha)^2 - 4 \cdot 1 \cdot (O_1D^2 - R^2)}}{2} \quad (3.18)$$

Радіус—вектор OA при русі нитководія по дузі ВЕС буде дорівнювати

$$OA = OD - AD \quad (3.19)$$

Прийнявши до уваги те, що коли кут φ лежить в межах $\left(0 \leq \varphi_1 \leq \frac{\pi}{2} - \frac{g}{2}\right) \vee \left(\frac{\pi}{2} + \frac{g}{2} < \varphi_1 < \pi\right) \vee \left(\pi \leq \varphi_1 \leq 3 \cdot \frac{\pi}{2} - \frac{g}{2}\right) \vee \left(3 \cdot \frac{\pi}{2} + \frac{g}{2} \leq \varphi_1 \leq 2 \cdot \pi\right)$, то радіус—вектор OA обчислюємо в рівнянні (3.14), в іншому випадку в рівнянні (3.19) узагальнена форма для визначення довжини радіус-вектора OA, як при русі по дузі, так і при русі по прямій, може бути зведена до системи з урахуванням вищевказаних умов.:

$$OA = \begin{cases} \frac{R}{\cos(\varphi_1)} & \text{if } \left(0 \leq \varphi_1 \leq \frac{\pi}{2} - \frac{g}{2}\right) \vee \left(\frac{\pi}{2} + \frac{g}{2} < \varphi_1 < \pi\right) \vee \left(\pi \leq \varphi_1 \leq 3 \cdot \frac{\pi}{2} - \frac{g}{2}\right) \vee \left(3 \cdot \frac{\pi}{2} + \frac{g}{2} \leq \varphi_1 \leq 2 \cdot \pi\right) \\ OD - AD & \text{otherwise} \end{cases} \quad (3.20)$$

Зм.	Арк.	№докум.	Підпис	Дата

Оскільки напрямні 10, 11 ниток рівновіддалені від центру системи точок O, заданої в трикутнику OSF, ми маємо рівнобедрений трикутник OS=OF. Ви знаєте координати точок O3, O4, які є центрами напрямної різьби, тому Ви можете легко знайти значення відрізків OS і OF.

$$OS = OF = \sqrt{(x - x_F)^2 + (y - y_F)^2}, \quad (3.21)$$

де x_F, y_F – координати точки F:

$$x_F = x_3;$$

$$y_F = y_3 + r.$$

Знайдемо кут q , при вершині трикутника SOF:

$$q = \arccos\left(\frac{OS^2 + OF^2 - FS^2}{2 \cdot OS \cdot OF}\right). \quad (3.22)$$

З трикутника SOA, сторони OA та SO відомі і обчислюються за формулами (3.20), і (3.21) відповідно, знайдемо частину нитки яка буде йти на накопичення, тобто величину SA.

$$AS = \begin{cases} \sqrt{OS^2 + OA^2 - 2 \cdot OA \cdot OS \cdot \cos(\varphi_1 - \tau)} & \text{if } 0 \leq \varphi_1 \leq \pi \\ \sqrt{OS^2 + OA^2 - 2 \cdot OA \cdot OS \cdot \cos(2 \cdot \pi - \varphi_1 + \tau)} & \text{otherwise} \end{cases}, \quad (3.23)$$

де $\tau = \frac{\pi}{2} - \frac{q}{2}$ - кут нахилу OS до осі O_x .

Зм.	Арк.	№докум.	Підпис	Дата

Аналогічно з трикутника AFO знайдемо другу частину нитки яка буде йти на накопичення, тобто величину AF.

$$AS = \begin{cases} \sqrt{OF^2 + OA^2 - 2 \cdot OA \cdot OF \cdot \cos(\pi - \phi_1 - \tau)} & \text{if } 0 < \phi_1 < \pi \\ \sqrt{OF^2 + OA^2 - 2 \cdot OA \cdot OF \cdot \cos(\phi_1 - \tau - q)} & \text{otherwise} \end{cases} \quad (3.24)$$

Змініть значення ϕ_1 з 0, встановивши кут нахилу..З кроком $2^\circ \approx 30^\circ$ можна відстежувати зміну значень AS і AF в залежності від кута повороту головного валу машини, і ця характеристика графічно представлена на передачі 4 (див.рис. 3.4).

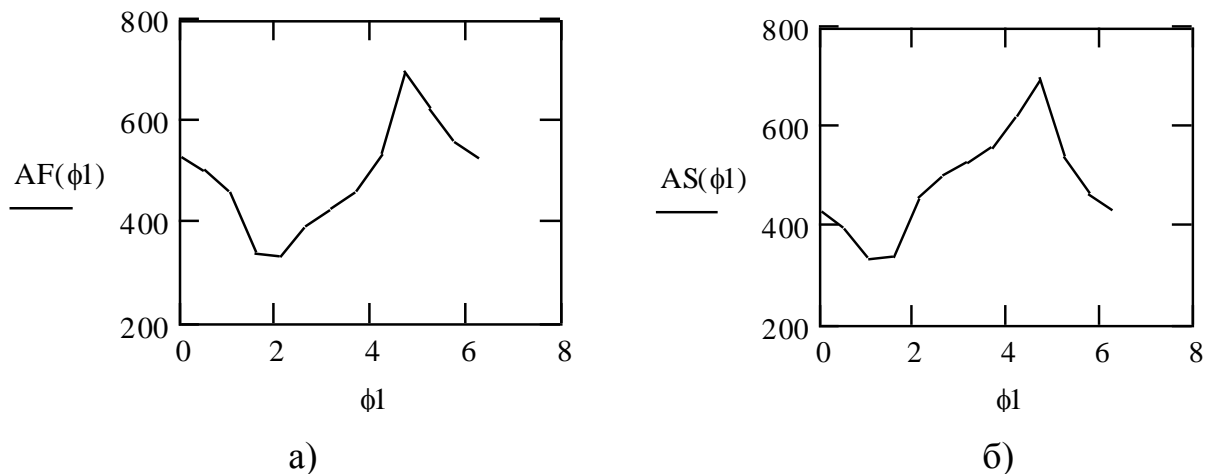


Рисунок 3.4 – Графічна характеристика механізму накопичення уточної нитки для ткацьких верстатів, з двома зубчатими колесами AF (а) та AS(б)

На рисунку 3.5 представлена розрахункова схема механізму компенсації уточної нитки у вигляді трикутника.

Зм.	Арк.	№докум.	Підпис	Дата

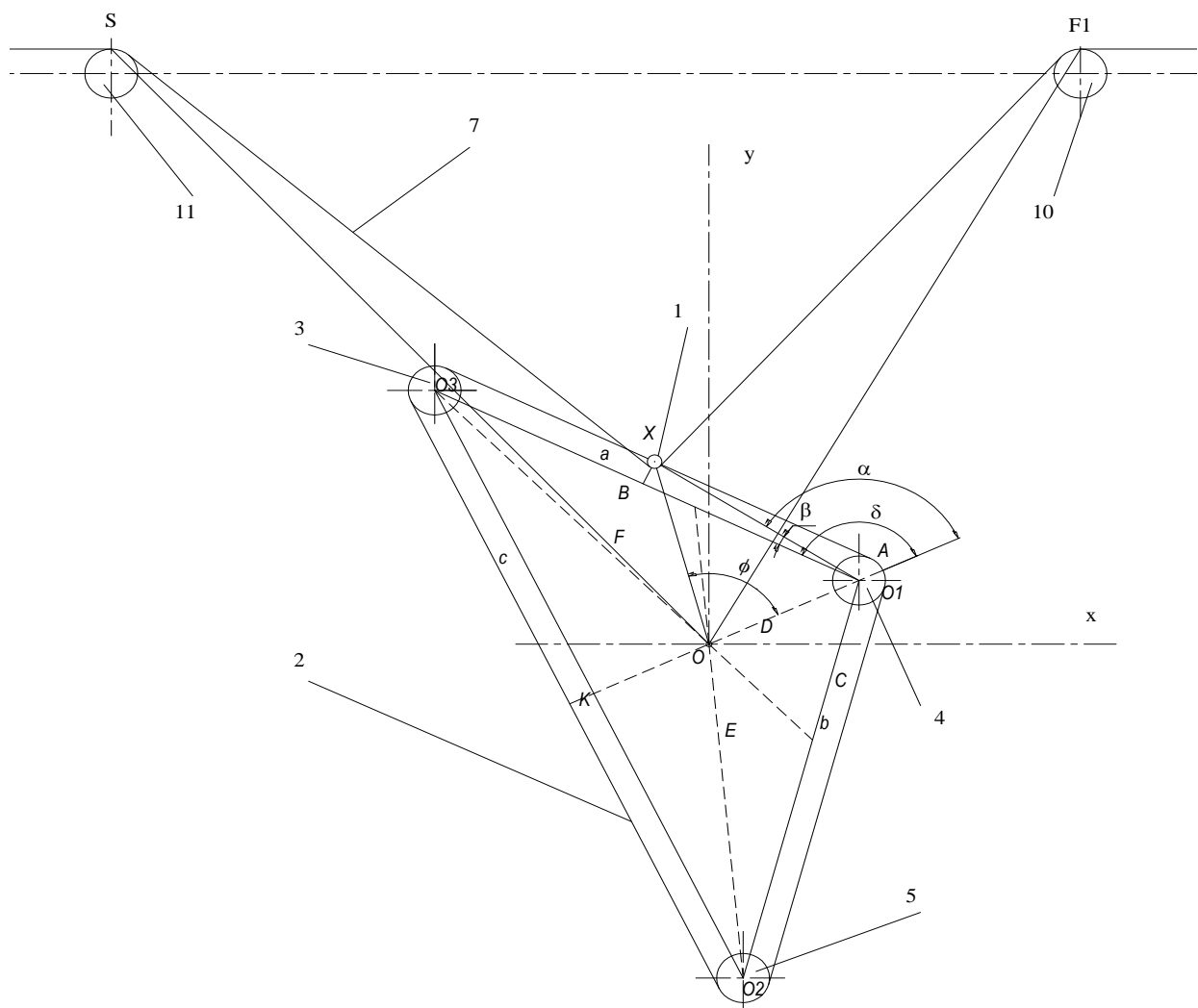


Рисунок 3.5 – Розрахункова схема механізму компенсації уточної нитки з трьома зубчастими колесами

Припустимо, що система з таких трьох зубчастих коліс утворює трикутник з вершинами O_1 , O_2 і O_3 . Як центр координат візьмемо центр ваги трикутника $O_1O_2O_3$ на перетині бісектрис. Щоб спростити обчислення, задайте деякі координати:

- - Центром координат є точка O (xy);
- Координати зубчастого колеса в 4 точках O_1 (x_1Y_1);
- Координати зубчастого колеса в 5 точках O_2 (x_2Y_2);
- Координати зубчастого колеса в 3 точках O_3 (x_3Y_3);

Зм.	Арк.	№докум.	Підпис	Дата

- Координати гвинтового направляючого ролика в 10 точках O4 (x4Y4);
 - Координати гвинтового направляючого ролика в 11 точках O5 (x5Y5).
- Давайте знайдемо довжину сторони трикутника O1O2O3

$$O_1O_3 = \sqrt{(x_3 - x_1)^2 + (y_3 - y_1)^2};$$

$$O_1O_2 = \sqrt{(x_2 - x_1)^2 + (y_2 - y_1)^2};$$

$$O_2O_3 = \sqrt{(x_2 - x_3)^2 + (y_3 - y_3)^2}.$$

За допомогою теореми Герона обчислимо площу трикутника O1O2O3

$$S = \sqrt{p \cdot (p - O_1O_3) \cdot (p - O_1O_2) \cdot (p - O_2O_3)}, \quad (3.25)$$

де p – півпериметр.

$$p = \frac{O_1O_3 + O_2O_3 + O_1O_2}{2}. \quad (3.27)$$

тоді радіус описаного навколо трикутника кола обчислюється за формулою:

$$R = \frac{O_1O_3 \cdot O_2O_3 \cdot O_1O_2}{4 \cdot S}. \quad (3.28)$$

Будемо розглядати рух нитководія по кожній стороні трикутника окремо.

Розглянемо рух нитководія на стороні O1O3.

Знайдемо кут нахилу сторони трикутника O1O3O2 до бісектриси проведеної з вершини O1, і позначимо його через δ:

$$\delta = \pi - \frac{\gamma}{2}, \quad (3.29)$$

де γ – кут при вершині O_1 трикутника $O_1O_2O_3$.

За теоремою синусів для довільного трикутника отримаємо таке співвідношення:

$$\gamma = \pi - \arcsin\left(\frac{\sqrt{(x_2 - x_3)^2 + (y_2 - y_3)^2}}{2 \cdot R}\right). \quad (3.30)$$

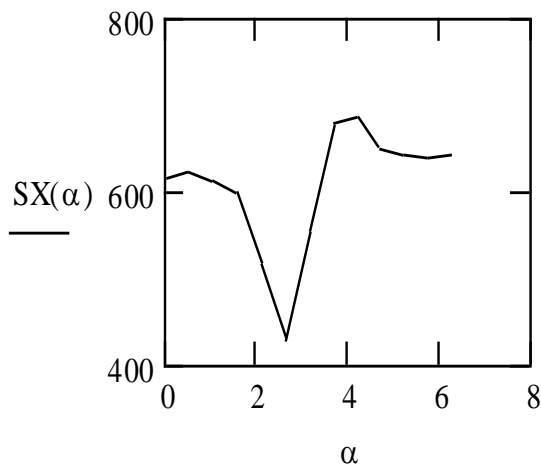
З'єднайте вершину O_1 трикутника $O_1O_2O_3$ з ниткоподібною фігурою, розташованою на стороні O_1O_3 , або вона обмежена кутом повороту від 0° до δ . Кут нахилу результуючої прямої O_1X позначається через β і представлений відомим кутом. Якщо привести вираз в загальний вигляд, то воно буде виглядати наступним чином:

$$\beta = \left| \pi - \frac{\pi - \arcsin\left(\frac{\sqrt{(x_2 - x_3)^2 + (y_2 - y_3)^2}}{2 \cdot R}\right)}{2} - \alpha \right|. \quad (3.31)$$

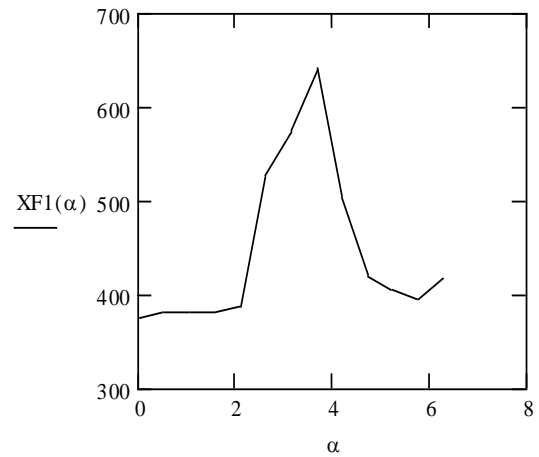
Від точки X до сторони трикутника O_3O_1 проведіть перпендикуляр, щоб отримати точку B трикутника O_1MIN , яка є прямокутною стороною $min=r_1$, отже, згідно з теоремою про синусоїди прямокутного трикутника, ми можемо знайти сторону O_1X , записану як::

$$O_1X = \frac{r_1}{\sin(\beta)}, \quad (3.32)$$

Зм.	Арк.	№докум.	Підпис	Дата



а)



б)

Рисунок 3.5 – Графічна характеристика механізму накопичення уточної нитки для ткацьких верстатів, з двома зубчатими колесами SX (а) та XF1(б)

Висновки до третього розділу

Пропонована програма є основою конструкції дуже ефективного механізму компенсації качка для верстатів *potadic*, вона дозволяє реалізувати практично всі закони подачі качкової нитки, так що вона має мінімальний розмір, який не заважає роботі інших механізмів, оскільки дозволяє вибрати оптимальну кількість зубчастих коліс, їх розмірів і розташування. Вони будуть виконувати необхідні функції по подачі ниток для різних тканин.

Зм.	Арк.	№докум.	Підпис	Дата

dzianiny / Duong-Minmnh-Anh-Lan – Praca doktorska. Polytechnika Lodzka. Lodz. 1972. – 221 p.

11. Гржибовський В. В. Вплив напрямку зсуву гребінки на витрату нитки та структуру полотна при основовязанні / В. В. Гржибовський, В. П. Король, В. А. Радзієвський // Легка і текстильна промисловість. – К. –1972. –№7. – С. 29-33.

12. Промислова вентиляція. Методичні вказівки до практичних завдань. О.В. Снозик, А.К. Бережнюк, П.І.Троян.– Хмельницький: ТУП, 2001.–65с.

					БРМА 24.00.00.000 ПЗ	Арк.
						67
Зм.	Арк.	№докум.	Підпис	Дата		